

УДК 548.736:535.537:546.65

**КРИСТАЛЛИЧЕСКАЯ СТРУКТУРА И ТРИБОЛЮМИНЕСЦЕНЦИЯ  
ЦЕНТРОСИММЕТРИЧНОГО КОМПЛЕКСА [Eu(NO<sub>3</sub>)<sub>3</sub>(ГМФА)<sub>3</sub>]**

© 2010 Б.В. Буквецкий, А.Г. Мирочник\*, П.А. Жихарева, В.Е. Каравес

Институт химии ДВО РАН, Владивосток

Статья поступила 8 июля 2009 г.

С доработки — 10 февраля 2010 г.

Методом рентгеноструктурного анализа определена атомная структура кристаллов комплекса [Eu(NO<sub>3</sub>)<sub>3</sub>(ГМФА)<sub>3</sub>] (ГМФА — гексаметилфосфотриамид), обладающего интенсивной триболюминесценцией. Сингония центросимметричных кристаллов моноклинная:  $a = 13,785(1)$ ,  $b = 19,746(2)$ ,  $c = 14,723(1)$  Å,  $\beta = 102,143(2)^\circ$ , пр. гр.  $P2_1/n$ ,  $Z = 4$ ,  $\rho_{\text{выч}} = 1,484$  г/см<sup>3</sup>. Структура кристаллов представлена обособленными комплексами  $C_{18}H_{54}EuN_{12}O_{12}P_3$ , связанными ван-дер-ваальсовым взаимодействием с хорошо выраженным плоскостями спайности. Координационный полиздр атома Eu(III) отражает состояние искаженной квадратной антипризмы. Обсуждены возможные причины спектральных различий штарковской структуры фото- и триболюминесценции.

**Ключевые слова:** европий(III), комплексы, структура, люминесценция, трибolumинесценция.

Исследование триболюминесценции (ТБЛ) — свечения, возникающего при трении или разрушении кристаллов, актуально как с фундаментальной (поиск путей превращения механической энергии в световую), так и с практической точки зрения в связи с разработкой высокочувствительных оптических сенсоров для применения в различных областях науки и техники, в частности, в автомобиле- и авиастроении [1, 2]. Подобные сенсоры перспективны для мониторинга величины и месторасположения микротрещин в критических объектах (самолеты, автомобили, мосты и т.д.).

В работах [3—5] предлагается несколько механизмов возбуждения ТБЛ: электризация при трении [3], электрический разряд между противоположно заряженными поверхностями разлома кристалла [4], пьезоэлектричество [5]. Некоторые авторы в результате анализа большого количества кристаллических структур утверждают, что ТБЛ могут обладать только нецентросимметричные кристаллы [6, 7]. Однако другими авторами [8, 9] получен ряд центросимметричных кристаллов комплексов лантаноидов, обладающих ТБЛ. Одним из перспективных классов триболюминофоров являются интенсивно люминесцирующие комплексы лантаноидов [10—12].

Максимальной интенсивностью ТБЛ среди лантанидсодержащих комплексов обладает тетракис-дибензоилметаната европия с морфолином, интенсивность ТБЛ которого примерно в 8 раз выше в сравнении с тетракис-дибензоилметанатом европия с триэтиламмонием [13]. Интенсивная ТБЛ авторами связывается с разупорядочиванием хелатных колец комплекса и нецентросимметричностью кристалла.

Однозначная интерпретация механизма возбуждения Ln(III) при триболюминесценции в настоящее время отсутствует, поэтому исследование взаимосвязи строения и триболюминесцентных свойств комплексных соединений РЗЭ весьма актуально.

\* E-mail: mirochnik@ich.dvo.ru

В продолжение наших работ [ 14, 15 ] по исследованию взаимосвязи молекулярного дизайна и триболюминесцентных свойств лантанидсодержащих комплексов в настоящем сообщении изучен аддукт [Eu(NO<sub>3</sub>)<sub>3</sub>(ГМФА)<sub>3</sub>] (**I**), обладающий интенсивной фото- и триболюминесценцией.

### ЭКСПЕРИМЕНТАЛЬНАЯ ЧАСТЬ

Комплексное соединение **I** синтезировано по следующей методике: 4 г кристаллогидрата нитрата европия (Eu(NO<sub>3</sub>)<sub>3</sub>·6H<sub>2</sub>O) растворяли при 140—150 °C в очищенном ГМФА (20—30 мл). Соотношение исходных Eu(NO<sub>3</sub>)<sub>3</sub>·6H<sub>2</sub>O:ГМФА ≈ 1:15. После охлаждения раствора добавляли при энергичном перемешивании абсолютированный эфир (7 раз порциями по 40 мл) и сушили над P<sub>2</sub>O<sub>5</sub>. Выход продукта составил 90 %. Полученное соединение **I** представляет собой мелкокристаллический порошок белого цвета, гигроскопично, хорошо растворимо в воде и спирте, нерастворимо в эфире и бензole. Содержание C, H, N, O, P и Eu определяли методами элементного анализа. Процентное содержание углерода и водорода определяли сжиганием навески комплекса **I** в кварцевой трубке в токе кислорода в присутствии катализаторов. Содержание азота определяли методом Дюма сжиганием навески вещества в кварцевой трубке за счет кислорода твердых окислителей в атмосфере двуокиси углерода. Содержание Eu устанавливали весовым методом: прокаливали навеску вещества до постоянного веса окиси РЗЭ. Так, для Eu(NO<sub>3</sub>)<sub>3</sub>(ГМФА)<sub>3</sub> или C<sub>18</sub>H<sub>54</sub>EuN<sub>12</sub>O<sub>12</sub>P<sub>3</sub> найдено (%): C 24,9, H 6,2, N 19,2, O 22,2, P 10,1, Eu 17,4.

Для рентгеноструктурного исследования использовали изометричный хорошо ограненный прозрачный бесцветный монокристалл. Полное рентгеноструктурное исследование проведено в системе SMART-1000 CCD фирмы Bruker. Сбор экспериментальных данных проведен тремя группами по 906 кадров в каждой при значениях угла φ 0, 90 и 180° соответственно, ω-сканировании с шагом 0,2° и экспозицией по 20 с на каждый кадр. Редактирование данных, уточнение параметров элементарной ячейки и пересчет интегральных интенсивностей в модули структурных амплитуд проведены по программам [ 16 ]. Структура определена прямым методом с последующим уточнением позиционных и тепловых параметров в анизотропном приближении для всех атомов, кроме атомов водорода, по программам [ 17 ]. Положения атомов водорода хотя и выявили на заключительных синтезах электронной плотности, однако не определили принципиальной новизны и для дальнейшей работы использовали расчетные и уточненные по модели "наездника".

Основные кристаллографические параметры исследуемого образца, характеристики рентгеновского дифракционного эксперимента и детали уточнения модели структуры методом наименьших квадратов приведены в табл. 1, а основные межатомные расстояния и валентные углы — в табл. 2.

CIF-файл, содержащий полную информацию по исследованной структуре, был депонирован в CCDC под номером 737633, откуда может быть свободно получен по запросу на следующем интернет-сайте: [www.ccdc.cam.ac.uk/data\\_request/cif](http://www.ccdc.cam.ac.uk/data_request/cif)

Измерение спектров ТБЛ и фотолюминесценции (ФЛ) проведено на спектрометре Dicam-Pro (фирма PCO) с записью на CCD камере с микроканальным усилителем яркости при 300 K. Деструкцию кристалла осуществляли фторопластовой палочкой в кварцевой ампуле перед щелью спектрометра.

### РЕЗУЛЬТАТЫ И ИХ ОБСУЖДЕНИЕ

Атомная структура молекулы комплекса представлена на рис. 1. Кристаллы **I** построены из обособленных молекул комплекса [Eu(ГМФА)<sub>3</sub>(NO<sub>3</sub>)<sub>3</sub>], связанных Ван-дер-ваальсовым взаимодействием.

В [Eu(NO<sub>3</sub>)<sub>3</sub>(ГМФА)<sub>3</sub>] каждый ион европия координирует 9 атомов кислорода — 6 атомов кислорода от трех NO<sub>3</sub>-групп и трех монодентатных молекул гексаметилфосфотриамида. Вокруг иона европия 9 атомов кислорода образуют девятивершинник, который по критериям

Таблица 1

*Кристаллографические данные, характеристики рентгенодифракционного эксперимента и детали уточнения структуры I*

Параметр	Значение
Формула	C <sub>18</sub> H <sub>54</sub> EuN <sub>12</sub> O <sub>12</sub> P <sub>3</sub>
Молекулярная масса	875,60
Температура, К	296(2)
Длина волны, Å	MoK <sub>α</sub> (0,71073)
Пространственная группа	P2 <sub>1</sub> /n
a, b, c, Å	13,785(1), 19,746(2), 14,723(1)
β, град.	102,143(2)
Z	4
ρ <sub>выч.</sub> , г/см <sup>3</sup>	1,484
μ, мм <sup>-1</sup>	1,786
F(000)	1800
Размер кристалла, мм	0,30×0,24×0,20
Область сбора данных по θ, град.	1,75—30,04
Интервалы индексов отражений	-18 ≤ h ≤ 19, -27 ≤ k ≤ 27, -20 ≤ l ≤ 20
Измер. / независ. отражений	41894 / 11414 ( $R_{\text{int}} = 0,0288$ )
Отражений с $I > 2\sigma(I)$	7782
Комплексность по θ до 30,04°, %	99,5
Поглощение	По индексам огранки кристалла
Метод уточнения	Полноматричный МНК по $F^2$
Переменных уточнения	434
S	1,043
R-фактор по $I > 2\sigma(I)$	$R1 = 0,0288, wR2 = 0,0647$
R-фактор по всем отражениям	$R1 = 0,0470, wR2 = 0,0739$
Коэффициент экстинкции	0,0001(2)
Остаточная эл. пл. min / max, e/Å <sup>3</sup>	-0,397 / 0,627

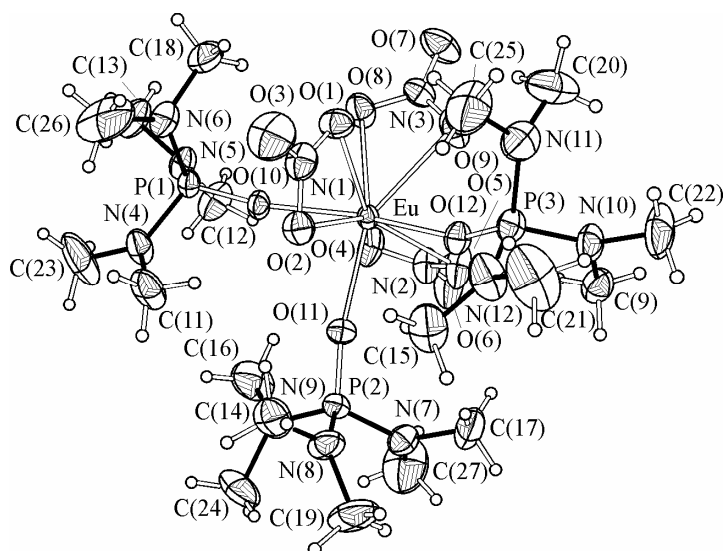


Рис. 1. Молекулярная структура комплекса I

Таблица 2

## Основные длины связей и валентные углы в структуре I

Связь	$d, \text{\AA}$	Связь	$d, \text{\AA}$	Связь	$d, \text{\AA}$
Eu—O(10)	2,3091(15)	P(2)—N(8)	1,626(3)	N(5)—C(12)	1,468(4)
Eu—O(12)	2,3313(16)	P(2)—N(9)	1,627(3)	N(10)—C(9)	1,437(4)
Eu—O(11)	2,3319(16)	P(2)—N(7)	1,631(3)	N(10)—C(22)	1,464(4)
Eu—O(1)	2,5103(19)	P(3)—O(12)	1,4868(17)	N(6)—C(26)	1,432(5)
Eu—O(9)	2,518(2)	P(3)—N(12)	1,622(3)	N(6)—C(18)	1,477(5)
Eu—O(5)	2,5211(19)	P(3)—N(10)	1,629(3)	N(4)—C(23)	1,447(4)
Eu—O(4)	2,5214(19)	P(3)—N(11)	1,635(3)	N(4)—C(11)	1,463(4)
Eu—O(8)	2,5282(19)	O(1)—N(1)	1,262(3)	N(8)—C(19)	1,460(4)
Eu—O(2)	2,5428(18)	O(2)—N(1)	1,256(3)	N(8)—C(14)	1,468(4)
Eu—N(2)	2,937(2)	O(5)—N(2)	1,243(3)	N(11)—C(25)	1,446(5)
Eu—N(1)	2,947(2)	O(4)—N(2)	1,238(3)	N(11)—C(20)	1,451(5)
Eu—N(3)	2,959(2)	O(8)—N(3)	1,240(3)	N(7)—C(27)	1,398(5)
P(1)—O(10)	1,4822(16)	O(9)—N(3)	1,233(3)	N(7)—C(17)	1,456(5)
P(1)—N(5)	1,622(2)	O(7)—N(3)	1,215(3)	N(12)—C(15)	1,426(4)
P(1)—N(6)	1,627(3)	O(3)—N(1)	1,217(3)	N(12)—C(21)	1,463(4)
P(1)—N(4)	1,634(2)	O(6)—N(2)	1,212(3)	N(9)—C(16)	1,445(5)
P(2)—O(11)	1,4822(18)	N(5)—C(13)	1,460(4)	N(9)—C(24)	1,466(5)
Угол	$\phi, \text{град.}$	Угол	$\phi, \text{град.}$	Угол	$\phi, \text{град.}$
O(10)—Eu—O(11)	85,17(6)	O(11)—Eu—O(2)	75,19(6)	C(19)—N(8)—P(2)	126,4(3)
O(12)—Eu—O(11)	86,71(6)	O(1)—Eu—O(2)	50,22(6)	C(14)—N(8)—P(2)	118,4(2)
O(10)—Eu—O(1)	84,43(6)	O(10)—P(1)—N(5)	110,75(10)	C(25)—N(11)—P(3)	121,0(3)
O(12)—Eu—O(1)	81,46(7)	O(10)—P(1)—N(6)	112,92(12)	C(20)—N(11)—P(3)	120,1(3)
O(12)—Eu—O(9)	74,94(7)	O(10)—P(1)—N(4)	108,74(11)	C(27)—N(7)—P(2)	125,2(3)
O(1)—Eu—O(9)	77,69(8)	O(11)—P(2)—N(8)	111,07(13)	C(17)—N(7)—P(2)	118,4(2)
O(12)—Eu—O(5)	75,90(6)	O(11)—P(2)—N(9)	109,04(13)	C(15)—N(12)—P(3)	124,4(2)
O(11)—Eu—O(5)	79,23(7)	O(11)—P(2)—N(7)	113,67(12)	C(21)—N(12)—P(3)	122,1(3)
O(9)—Eu—O(5)	71,53(9)	O(12)—P(3)—N(12)	107,87(12)	C(16)—N(9)—P(2)	122,6(2)
O(10)—Eu—O(4)	76,04(6)	O(12)—P(3)—N(10)	108,69(12)	C(24)—N(9)—P(2)	121,7(3)
O(11)—Eu—O(4)	80,68(7)	O(12)—P(3)—N(11)	118,20(13)	O(3)—N(1)—O(2)	121,7(3)
O(9)—Eu—O(4)	89,13(9)	C(13)—N(5)—P(1)	124,0(2)	O(3)—N(1)—O(1)	121,5(3)
O(5)—Eu—O(4)	49,56(6)	C(12)—N(5)—P(1)	119,1(2)	O(2)—N(1)—O(1)	116,8(2)
O(10)—Eu—O(8)	72,67(6)	C(9)—N(10)—P(3)	121,6(2)	O(6)—N(2)—O(4)	121,3(2)
O(1)—Eu—O(8)	74,54(7)	C(22)—N(10)—P(3)	122,9(3)	O(6)—N(2)—O(5)	121,8(3)
O(9)—Eu—O(8)	48,86(7)	C(26)—N(6)—P(1)	124,4(3)	O(4)—N(2)—O(5)	116,9(2)
O(5)—Eu—O(8)	95,81(8)	C(18)—N(6)—P(1)	118,0(2)	O(7)—N(3)—O(9)	122,7(3)
O(4)—Eu—O(8)	73,34(8)	C(23)—N(4)—P(1)	123,6(3)	O(7)—N(3)—O(8)	122,2(3)
O(10)—Eu—O(2)	77,34(6)	C(11)—N(4)—P(1)	119,3(2)	O(9)—N(3)—O(8)	115,1(2)
O(12)—Eu—O(2)	78,14(6)				

[18, 19] можно отнести к искаженной квадратной антипризме с центрированной квадратной гранью состава  $[\text{EuO}_9]$ .

Трехмерное построение молекул путем действия элементов симметрии выделяет в пространстве кристалла относительно плотно упакованные слои, параллельные плоскости (001).

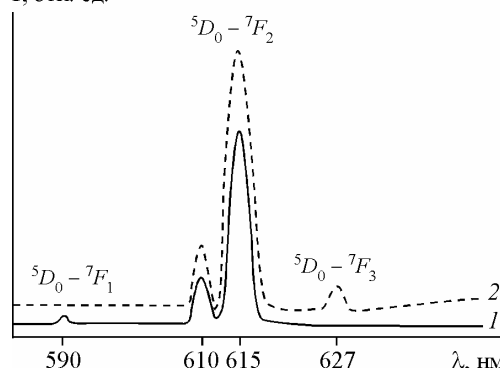
*I, отн. ед.*

Рис. 2. Спектры ФЛ (1) и ТБЛ (2) комплекса I

Пространство между такими слоями можно рассматривать как плоскости спайности в направлении кристаллографической оси *c*, по которым может проходить растрескивание кристаллов в процессе деструкции. При сдвиговой деформации в кристалле вдоль таких плоскостей наиболее вероятному разрушению могут подвергаться молекулы нитрогруппы N(2)O(4)O(5)O(6), как наиболее выходящей из плоскости слоя молекул.

На рис. 2 приведены спектры ФЛ и ТБЛ соединения I. Как видно из рис. 2, спектры ФЛ и ТБЛ I обусловлены характерной *f*—*f*-люминесценцией Eu(III). Характерной особенностью спектров комплексного соединения I являются спектральные отличия ФЛ и ТБЛ (см. рис. 2). Действительно, в то время как линии ФЛ и ТБЛ, относимые к линиям электродипольного перехода  $^5D_0 - ^7F_2$ , идентичны, при переходе от ФЛ к ТБЛ исчезает малоинтенсивная линия, относимая к магнитодипольному переходу  $^5D_0 - ^7F_1$ , но появляется малоинтенсивная линия, относимая к переходу  $^5D_0 - ^7F_3$  Eu(III). Наличие большого Стоксова сдвига (энергетический сдвиг между полосой поглощения и эмиссии) в исследуемом комплексе делает маловероятным проявление эффекта самопоглощения генерируемой ТБЛ [4]. С другой стороны, большая длительность возбужденного состояния комплекса I (400 мкс) делает маловероятным большие изменения фактора Франк-Кондона в процессе высвечивания при растрескивании кристалла [4, 14, 15]. Возможной причиной наблюдавших спектральных различий ФЛ и ТБЛ в комплексном соединении I может являться изменение локальной симметрии кристаллического поля на границах разломов в процессе деструкции кристалла.

Полученные экспериментальные данные и анализ триболюминесцентных свойств известных [4, 8, 9]  $\beta$ -дикетонатных комплексов РЗЭ показывает, что, по-видимому, на формирование триболюминесцентных свойств влияет как электронное строение соединений, так и геометрический фактор. Предполагалось, что факторами, благоприятствующими возникновению ТБЛ, являются нецентросимметричность кристалла [11] и наличие в координационной сфере лигантов, способствующих поляризации зарядов: в аддуктах — наличие в координационной сфере  $\beta$ -дикетона с акцепторными заместителями (фторированными) и донорных нейтральных молекул; в тетракис- $\beta$ -дикетонатах — наличие противоположно заряженных комплексного аниона и внешнесферного органического катиона, что также способствует поляризации зарядов [12]. Однако, следует подчеркнуть, что исследуемый в настоящей работе кристалл комплекса I является центросимметричным.

С другой стороны, наличие в координационной сфере соединения I трех нитрато-групп и трех молекул ГМФА, обладающих высокими донорными свойствами ( $D_N = 38,8$ ) [20], способствует эффективной поляризации зарядов и может являться фактором благоприятствующим возникновению ТБЛ.

#### СПИСОК ЛИТЕРАТУРЫ

1. Sage I., Bourhil G. // J. Mater. Chem. – 2001. – **11**, N 2. – P. 231 – 245.
2. Sage I., Lloyd P., Bourhill G. // Mater. World. – 2000. – **8**, N 3. – P. 23 – 24.
3. Chandra B.P., Khan M.S., Ansari M.H. // Cryst. Res. Technol. – 1998. – **33**, N 2. – P. 291 – 302.
4. Duignan J.P., Oswald I.D.H., Sage I.C. et al. // J. Lumin. – 2002. – **97**, N 1. – P. 115 – 126.
5. Chakravarty A., Philipson T.E. // J. Phys. D. — Appl. Phys. – 2004. – **37**, N 15. – P. 2175 – 2180.
6. Chandra B.P., Zink J.I. // J. Phys. Chem. Solids. – 1981. – **42**, N 6. – P. 529 – 532.
7. Cotton F.A., Huang P. // Inorg. Chim. Acta. – 2003. – **346**. – P. 223 – 226.
8. Sweeting L.M., Rheingold A.L., Gingerich J.M. et al. // Chem. Mater. – 1997. – **9**, N 5. – P. 1103 – 1115.
9. Rheingold A.L., King W. // Inorg. Chem. – 1989. – **28** (9). – P. 1715–1719.
10. Sun L.M., Zhang H.J., Fu L.S. et al. // J. Rare Earth. – 2004. – **22**, N 1. – P. 126 – 128.

11. *Zheng Z.P., Wang J.F., Liu H. et al.* // Acta Crystallogr. Sec. C — Cryst. Struct. Commun. — 2002. — **58**, N 1. — P. M50 — M52.
12. *Chen X.F., Zhu X.H., Xu Y.H. et al.* // J. Mater. Chem. — 1999. — **9**, N 11. — P. 2919 — 2922.
13. *Zeng X.-R., Xiong R.-G., You X.-Z. et al.* // Inorg. Chem. Commun. — 2000. — **3**. — C. 341 — 344.
14. Буквецкий Б.В., Мирочник А.Г., Жихарева П.А., Карасев В.Е. // Журн. структур. химии. — 2006. — **47**, № 3. — С. 585 — 589.
15. Мирочник А.Г., Буквецкий Б.В., Жихарева П.А. и др. // Журн. неорган. химии. — 2006. — **51**, № 5. — С. 804 — 809.
16. *Bruker* (1998), SMART and SAINT-Plus. Versions 5.0. Data Collektion and Processing Software for the SMART Sistem. Bruker AXS Inc., Madison, Wisconsin, USA.
17. *Sheldrick G.M.* (1998), SHELXTL/PC. Versions 5.10. An Integrated System for Solving, Refining and Displaying Crystal Structures From Diffraction Data. Bruker AXS Inc., Madison, Wisconsin, USA.
18. *Порай-Кошиц М.А., Асланов Л.А.* // Журн. структур. химии. — 1972. — **13**, № 2. — С. 266 — 276.
19. Киперман Д. Неорганическая стереохимия / Пер. с англ. — М.: Мир, 1985.
20. *Анорганикум*. Т. 1. / Под ред. Л. Кольдиц. — М.: Мир, 1984.